

Tsunami around Japan

North American plate

Eurasian plate

1611 Keichou Sanriku

1854 Toukai, Nankai

1896 Meiji Sanriku

1933 Showa Sanriku

1944 Tounankai

1946 Nankai

1960 Chile

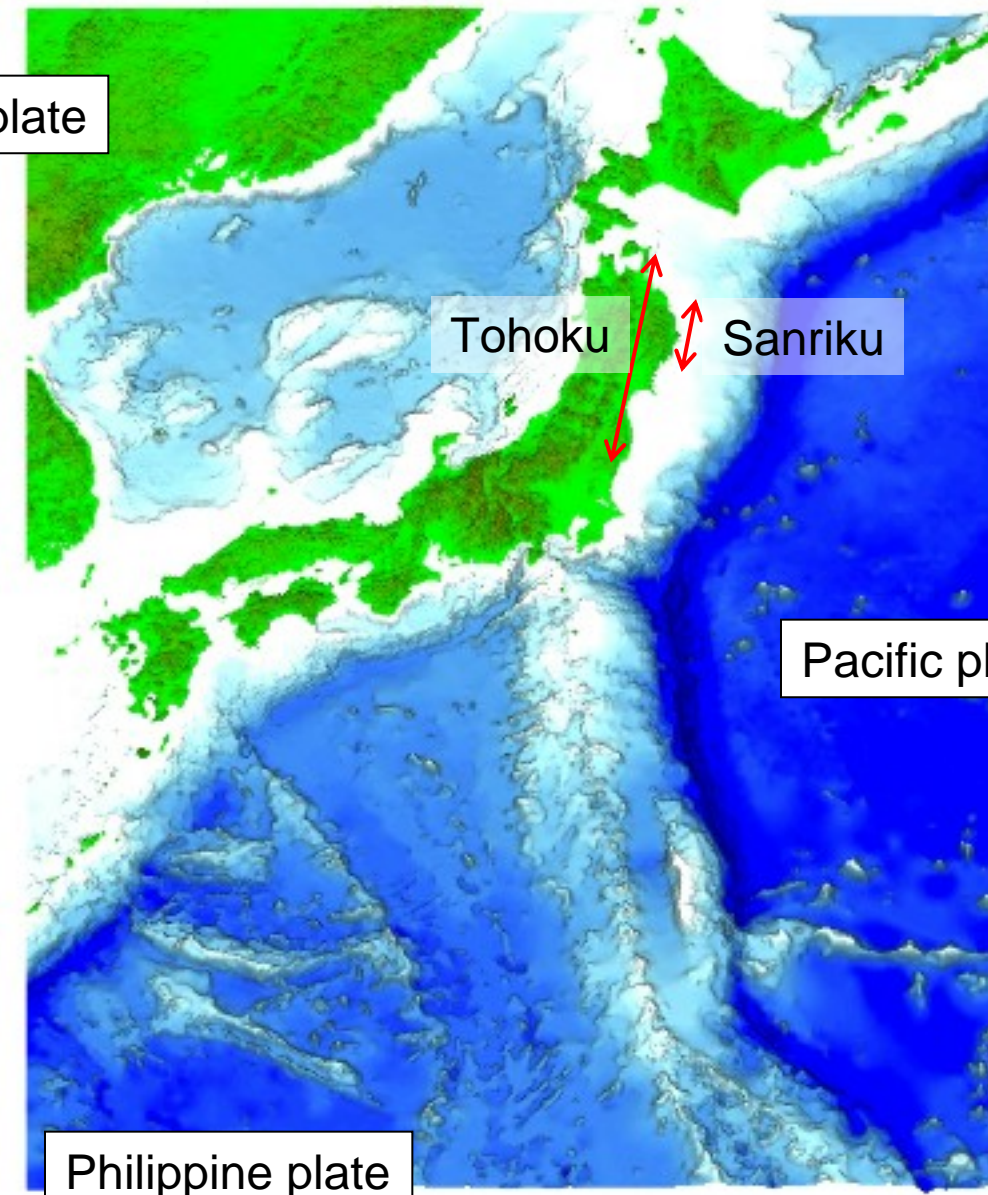
1983 Japan Sea

1993 Okushiri

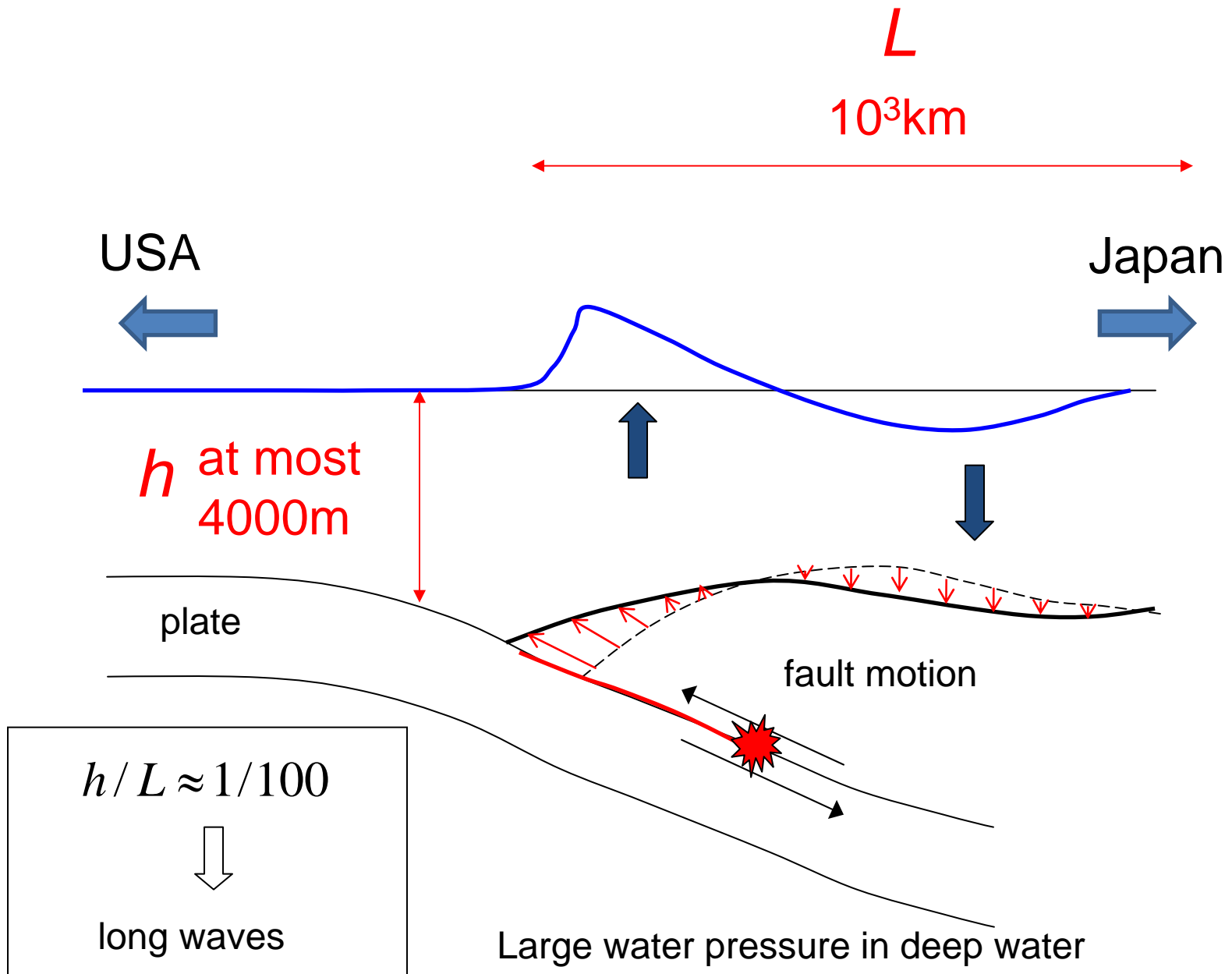
2011 Tohoku

Ria coast
V-shape bay

Pacific plate



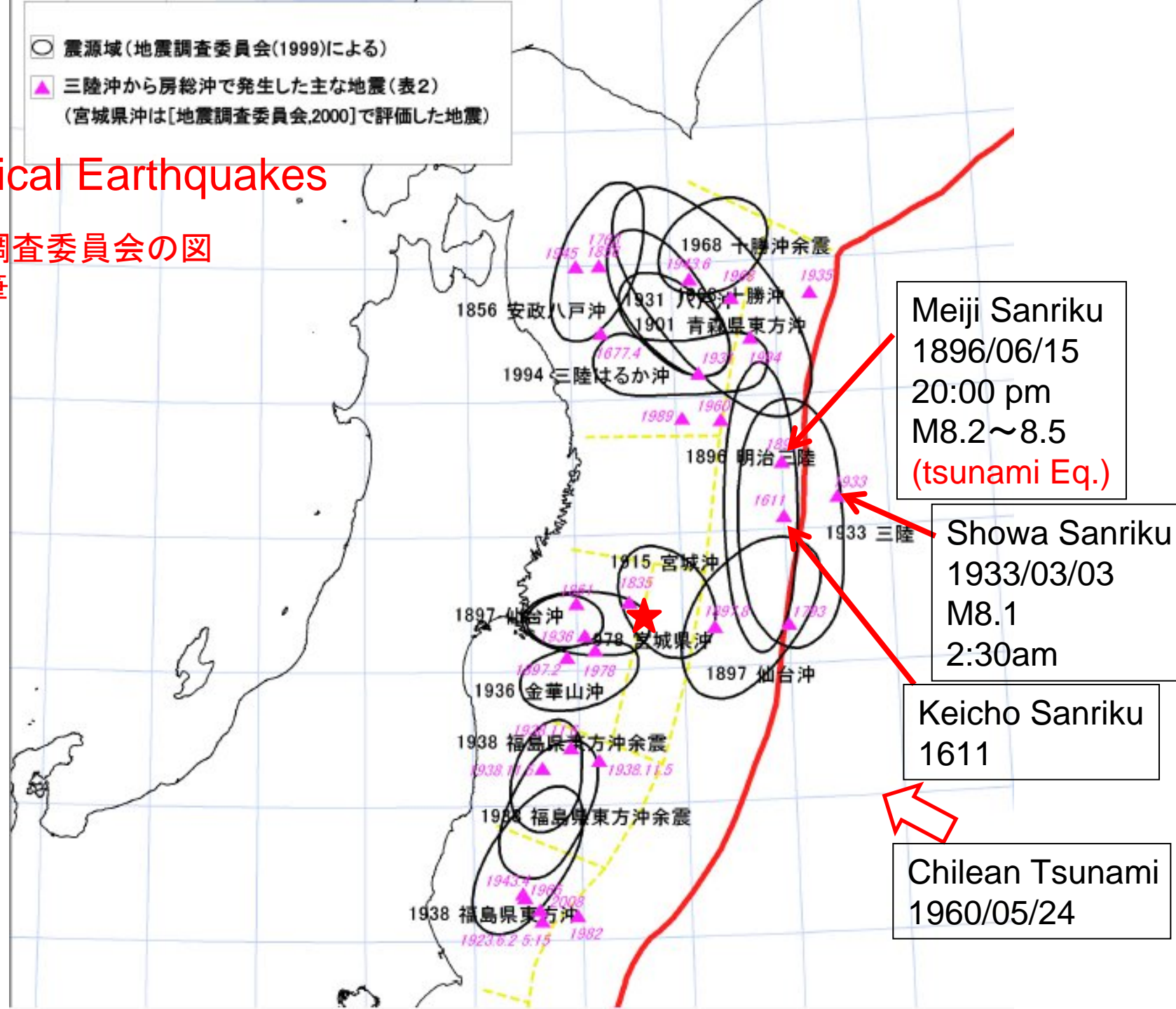
Tsunami generated at subduction zone



- 震源域(地震調査委員会(1999)による)
- ▲ 三陸沖から房総沖で発生した主な地震(表2)
(宮城県沖は[地震調査委員会,2000]で評価した地震)

Historical Earthquakes

地震調査委員会の図
に加筆

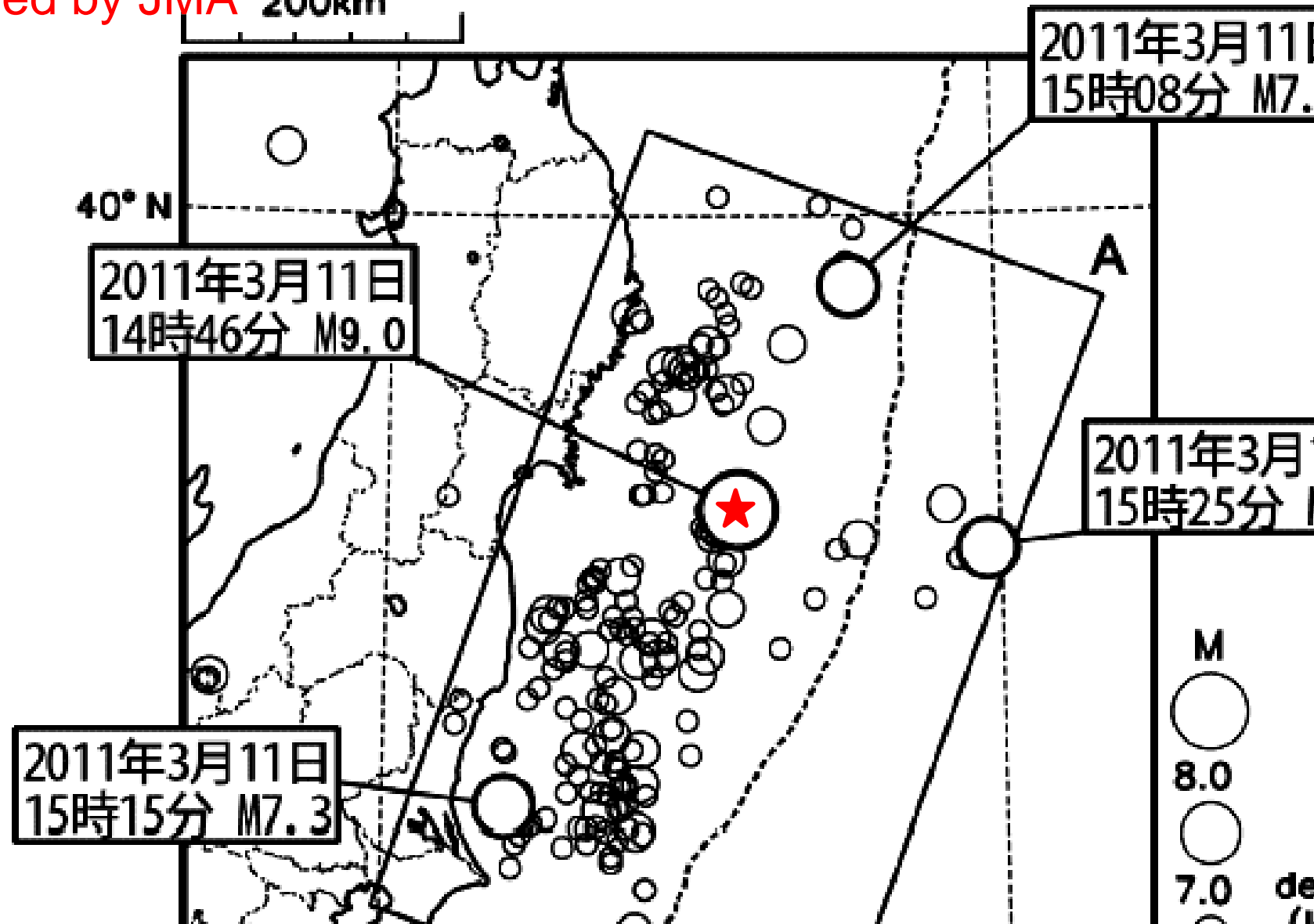


震央分布図

(2011年3月11日12時00分～13日07時00分、深さ90km以浅、M≥)

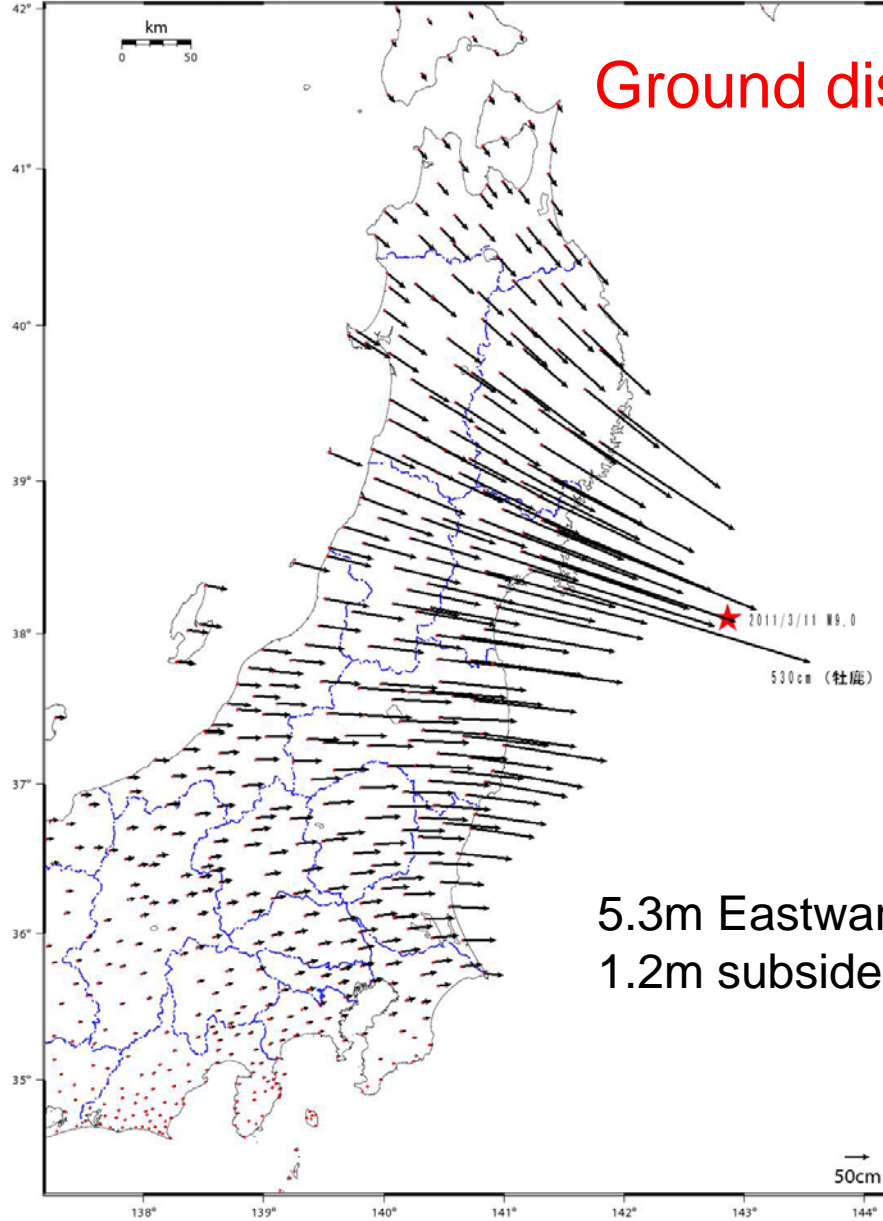
Aftershocks

compiled by JMA 200km



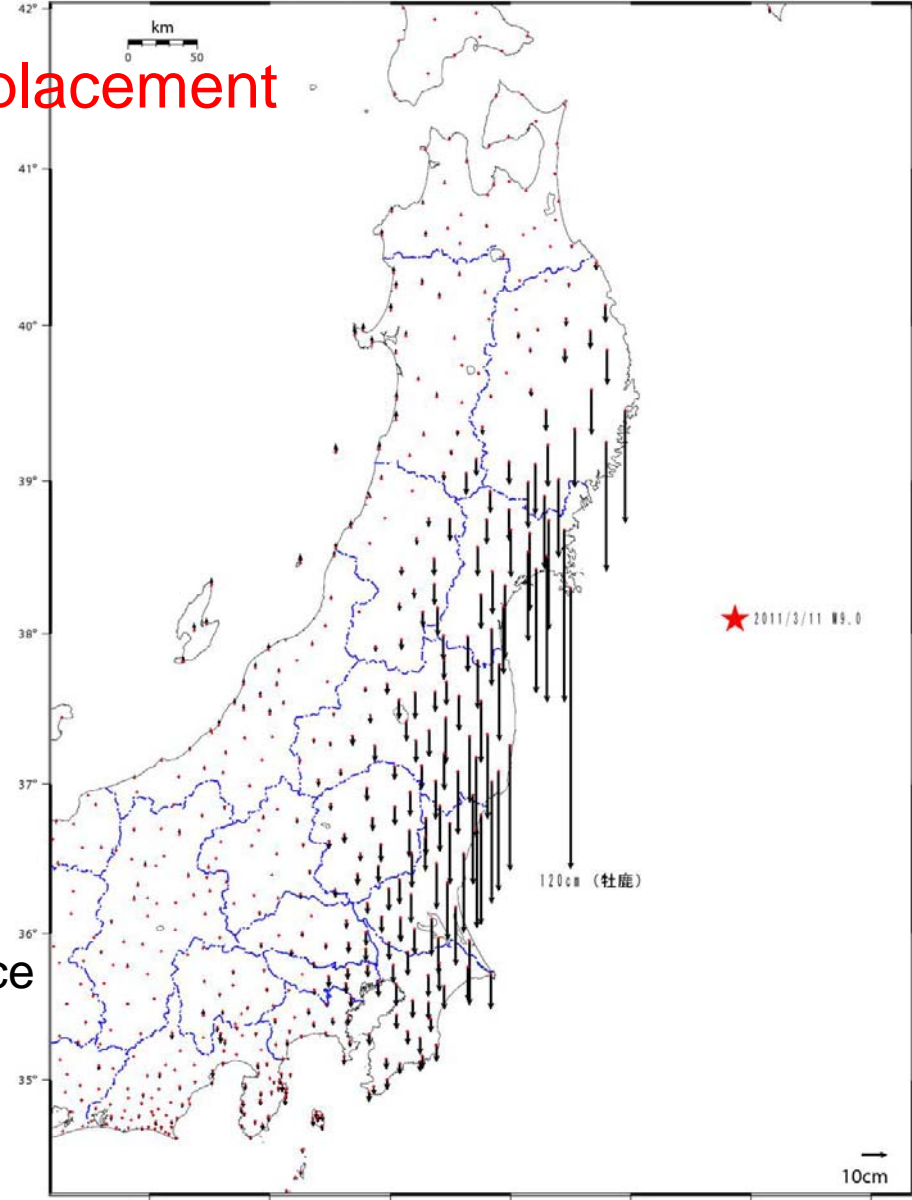
本震(M9.0)に伴う地殻変動（水平）暫定

基準期間：2011/03/01 21:00 - 2011/03/09 21:00
比較期間：2011/03/11 18:00 - 2011/03/11 21:00



本震(M9.0)に伴う地殻変動（上下）暫定

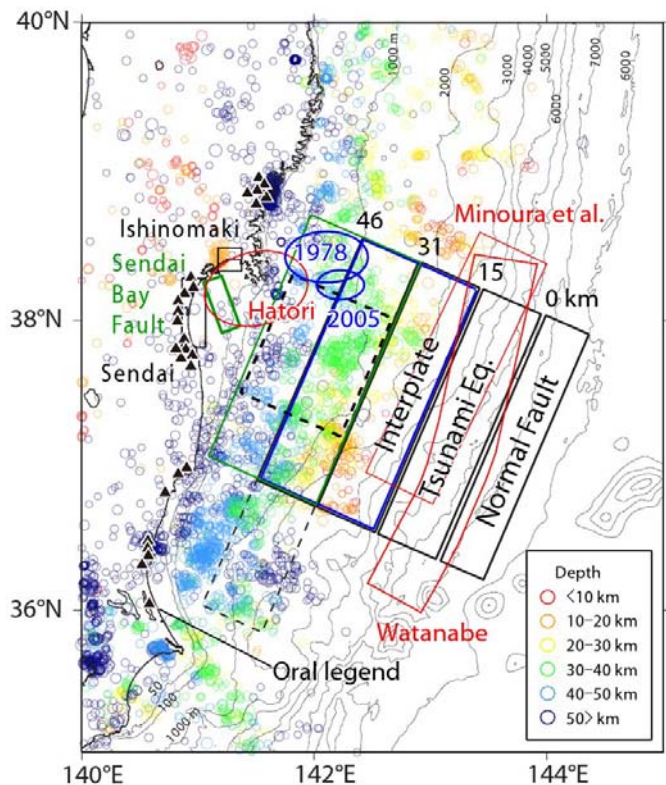
基準期間：2011/03/01 21:00 - 2011/03/09 21:00
比較期間：2011/03/11 18:00 - 2011/03/11 21:00



Jougan Tsunami(869)

佐竹健治・行谷佑一・山木 雄

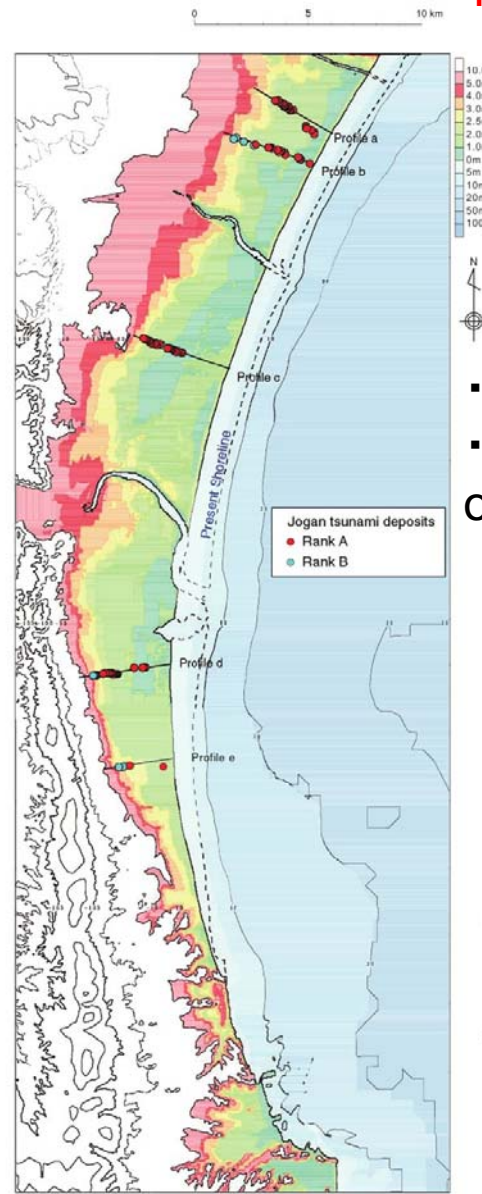
Satake, Namegaya,
Yamaki(2008)



第1図 貞觀津波の断層モデル。本研究で検討するのは、正断層モデル、津波地震モデル、断層幅 50 km のプレート間地震モデル（黒実線）のほか、プレート間地震の断層の長さを 300 km, 100 km に変えたもの（黒破線）、幅を 100 km に変えたもの（青、緑）及び仙台湾の活断層（深緑）。これらのはか、羽鳥（1998）、Minoura et al.（2001）、渡邊（2000）による推定波源域、1978 年、2005 年の宮城県沖地震の震源域も示す。カラーの小丸はこの地域の地震活動（1997 年 10 月～2007 年 3 月；気象庁一元化震源による）を示す。各断層の上に書かれた数字（0 km, 15, 31, および 41）は断層上端の深さを示す。三角印は貞觀地震・津波によるものと推定される伝承が残る場所を示す（渡邊, 2000）。

Fig. 1. Fault models of the Jogan tsunami. The fault models tested in this study are the normal fault, tsunami earthquake and interplate earthquake models (widths: 50 km) (shown by black solid lines), interplate models with different fault length (shown by black dashed lines), with different fault widths (green and blue lines), and an active fault in Sendai Bay (dark green). In addition, those proposed by Hatori (1998), Watanabe (2000) and Minoura et al. (2001) are shown. The source areas of 1978 and 2005 Miyagi-oki earthquakes are also shown. Color circles indicate seismicity in this region between October 1997 and March 2007, according to Japan Meteorological Agency data. Numerals beside the faults (0 km, 15, 31, and 46) indicate upper depth of the faults. Triangles show locations where oral legends of the 869 Jogan earthquake and tsunami were reported (Watanabe, 2000).

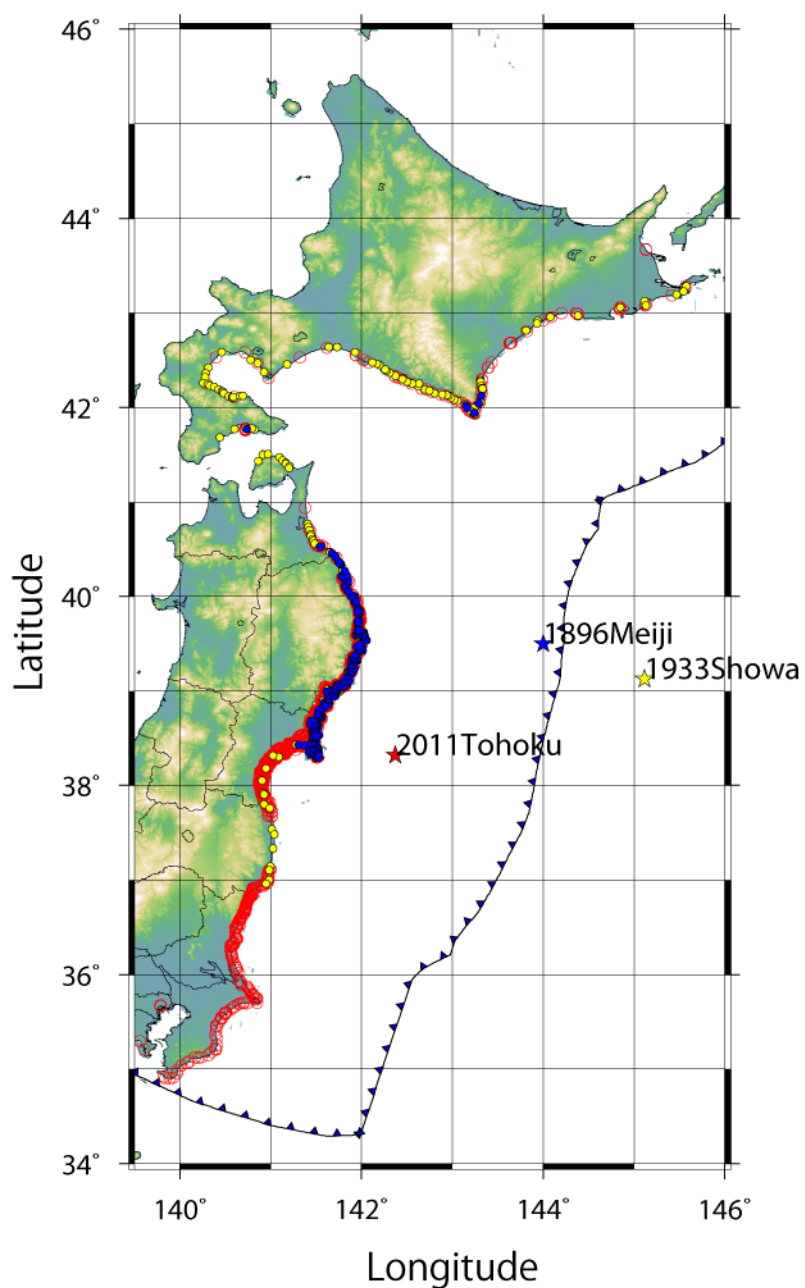
阿部・菅野・千釜(1990)
Minoura・Nakaya(1991)



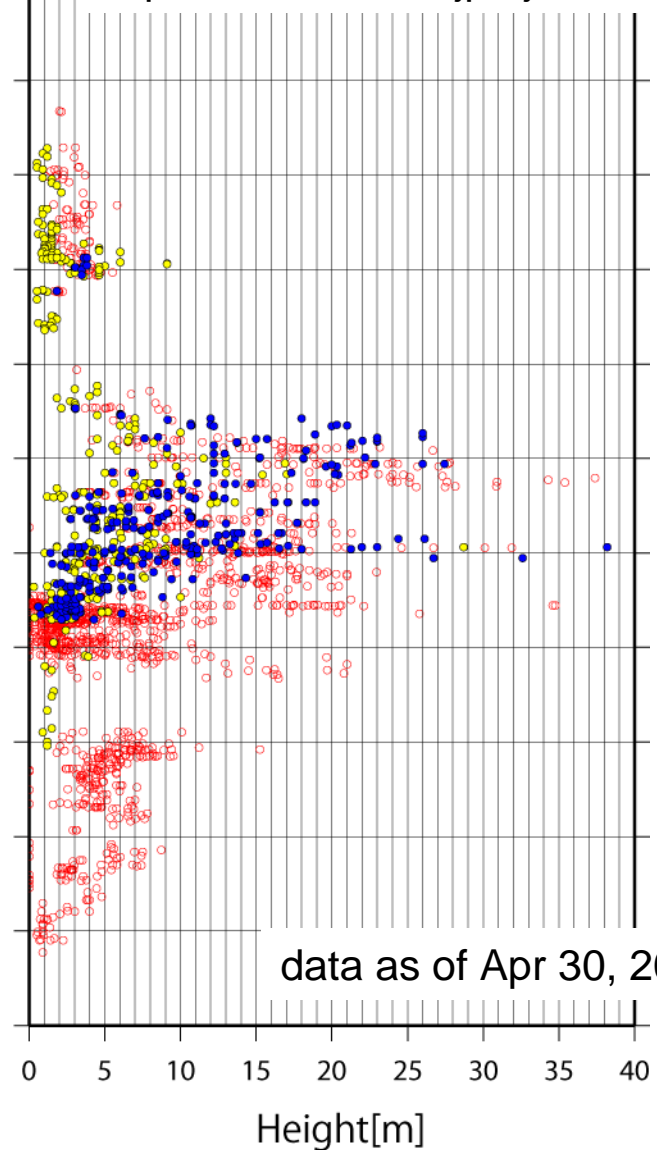
第4b図 仙台平野の貞觀当時の推定地形（格子間隔 25 m）。津波堆積物が見つかった位置（澤井・他, 2007; 2008）ならびに津波シミュレーションと堆積物の比較を行う 5 測線の位置も示す。津波堆積物は貞觀津波である可能性の高低によりランク A, B に分けた。

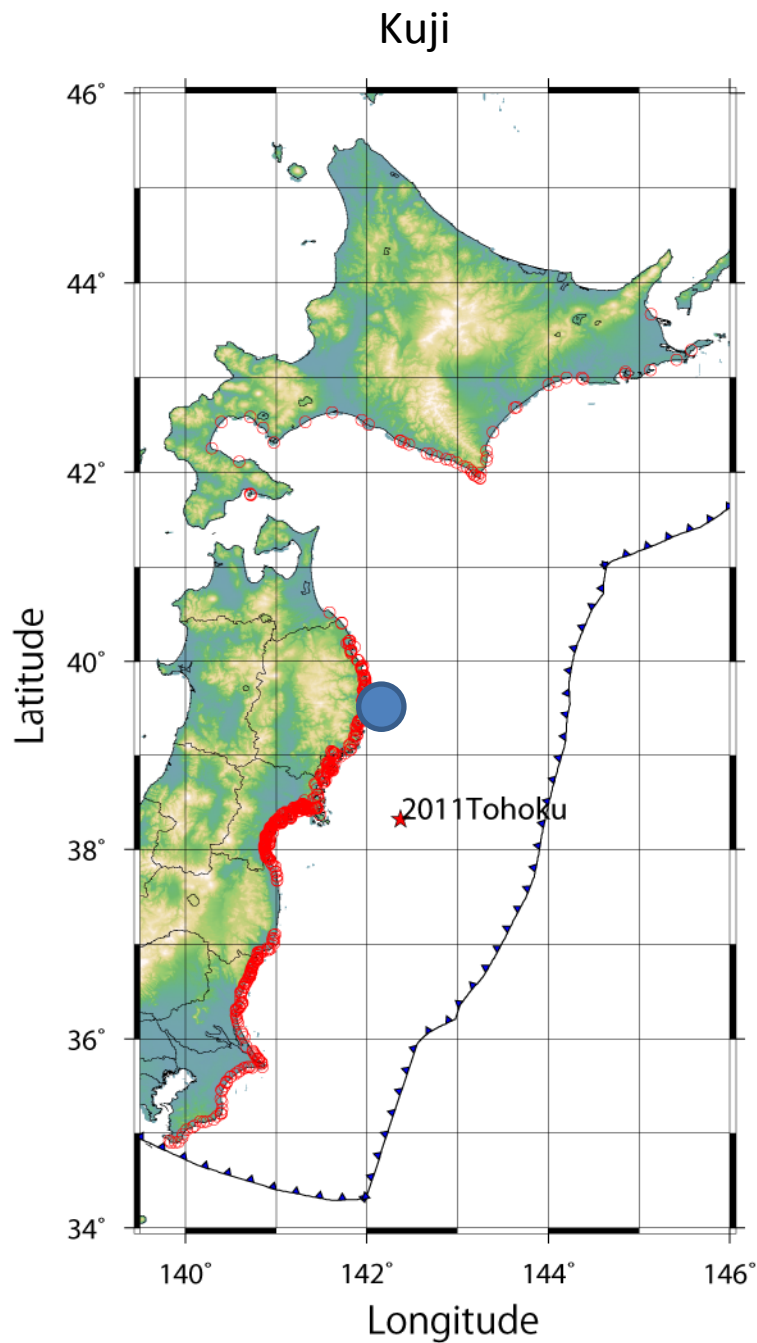
Fig. 4b. Estimated topography around Sendai plain at the time of AD 869 Jogan tsunami. This area is gridded into 25 m interval for inundation modeling. Locations of the tsunami deposits (Sawai et al., 2007; 2008) and five profiles on which simulation results are compared with the deposits are shown. Ranks A and B refer to probability of the Jogan tsunami deposits.

All data plotted with the past events

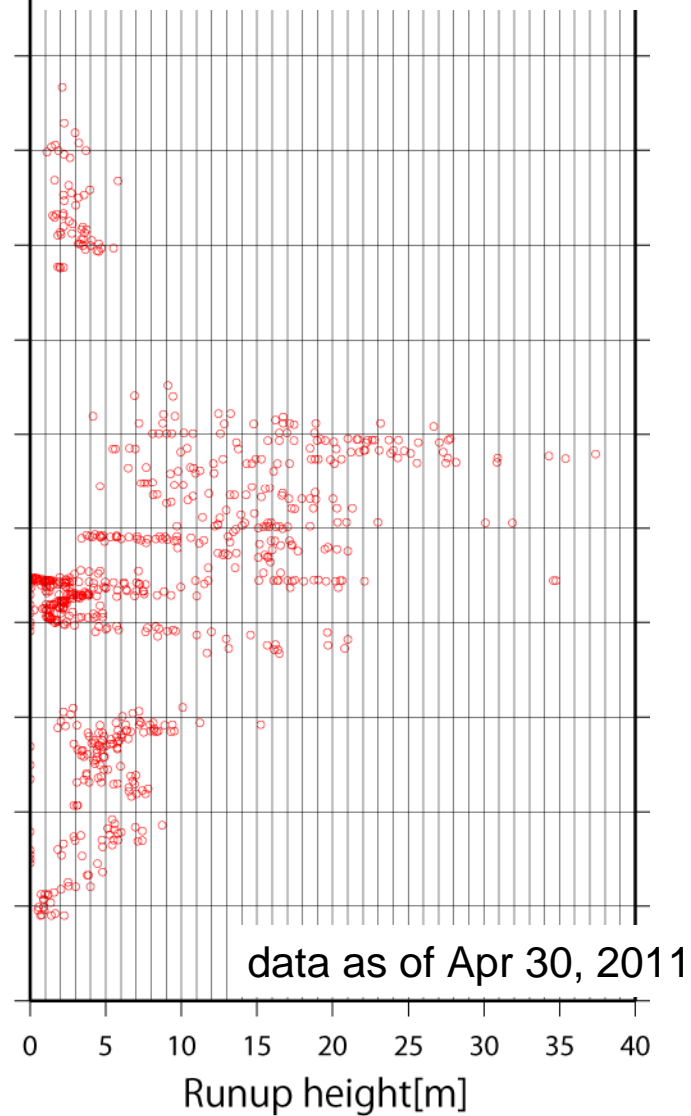


The 2011 Tohoku Earthquake Tsunami
Joint Survey Group
<http://www.coastal.jp/ttjt/>





The 2011 Tohoku Earthquake Tsunami
Joint Survey Group
<http://www.coastal.jp/ttjt/>



Kuji by Japan Self-Defence Force





Taro



©2010 Google™

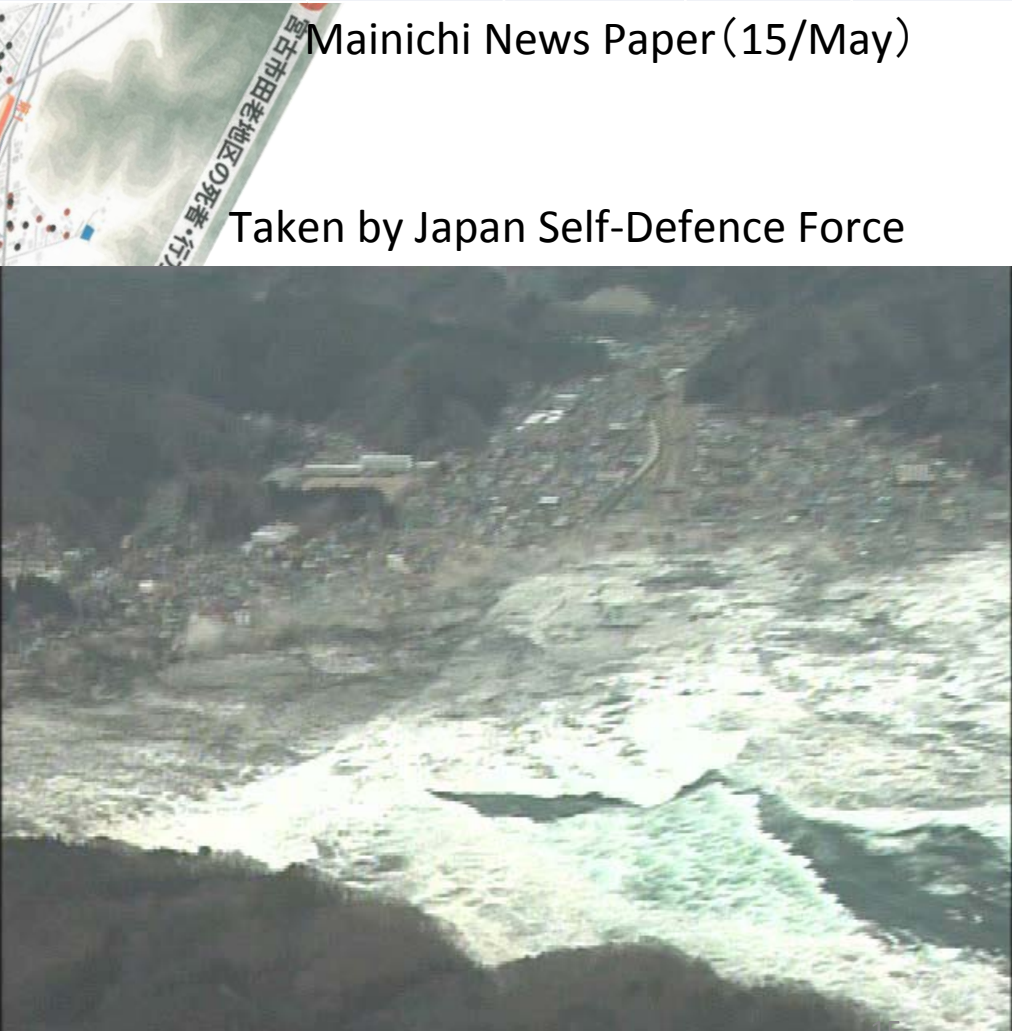


	居住者	死者	行方不明者	割合
A地区(二重堤に守られている地域)	1610	63	9	4.5%
B地区	566	19	36	9.7%
C地区	278	12	5	6.1%

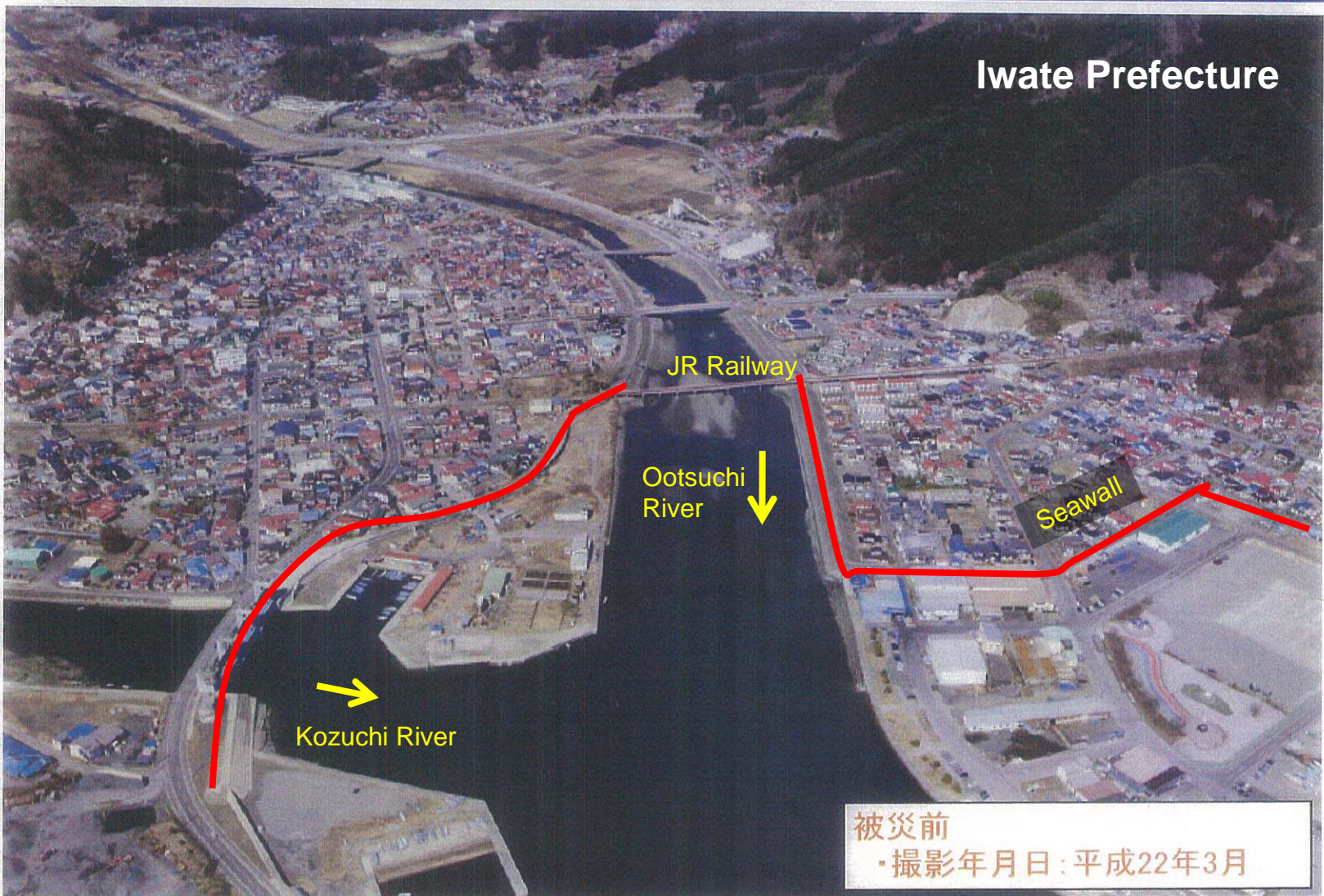


Mainichi News Paper (15/May)

Taken by Japan Self-Defence Force



⑩岩手県 大槌町 大槌川



津波襲来！！



岩手県提供

被災後

・撮影年月日：平成23年3月

Death 726, Missing 978, as of May 1, 2011

T.P.+13m



Collapsed Seawalls



Kamaishi



1km far from coast line

Rikuzentakada



Rikuzentakada



Kesennuma



Onagawa





No.2



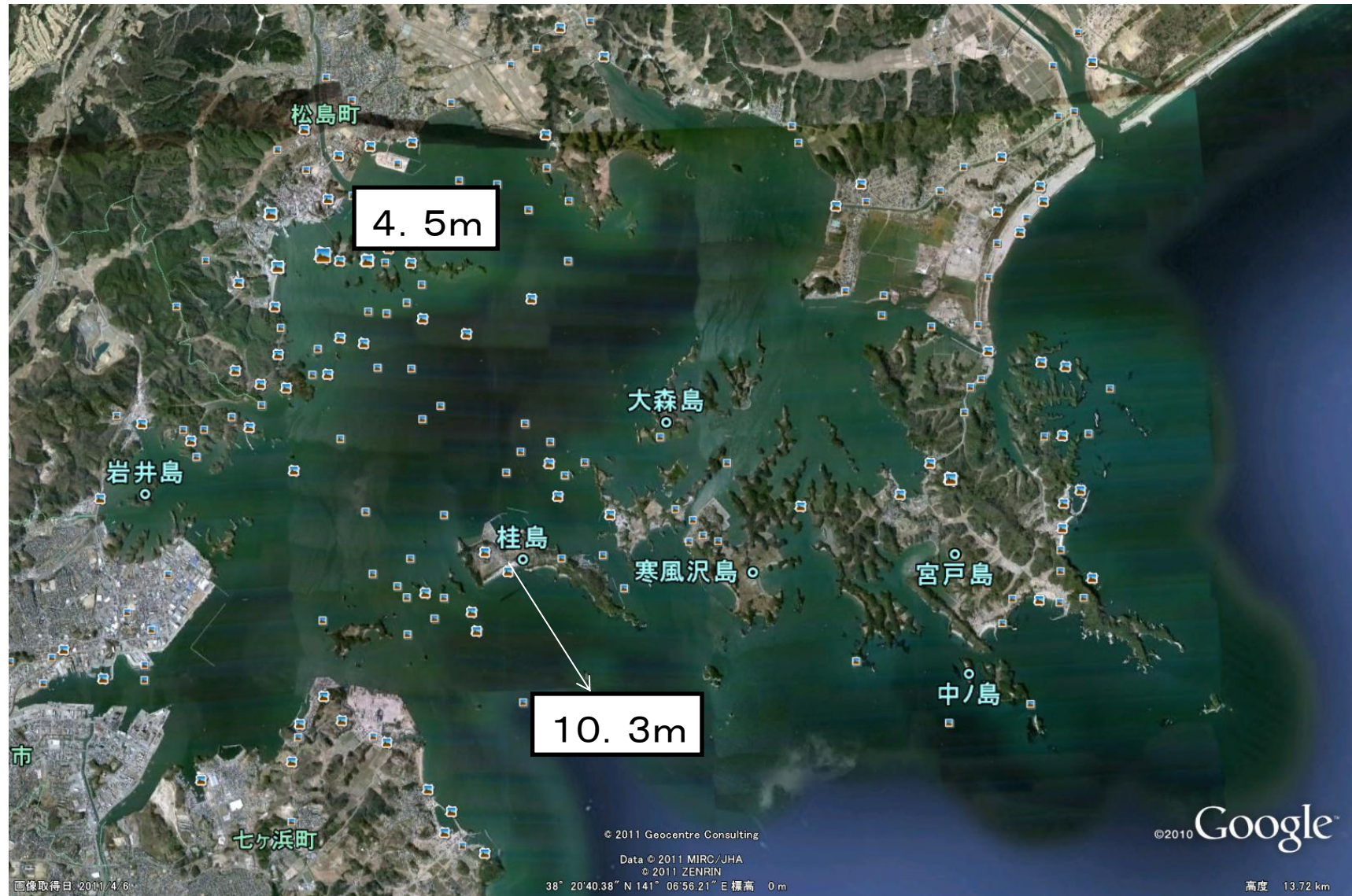
No.3







Natural Breakwaters Matsushima



Failure of Katsura Island at the Ocean Side



2011 Tohoku Tsunami

- Huge Tsunami in Sanriku Coast

Larger than Meiji & Showa events

- Attack in wide subsided areas in short time

Once in 100 to 1000 years

- Damages on flat plain formed around rivermouth

Tsu-nami affected not only ‘tsu’, ports and harbors, but also flat plains

津波